

## بررسی زمان تناوب و میرایی مؤثر قاب‌های بتن مسلح با ارتقای کوتاه تا متوسط

اصغر وطنی اسکوپی (استادیار)  
دانشکده هندسی عمران، دانشگاه تربیت مدرس شهید رجایی

استفاده از مشخصات دینامیکی یک سازه، در روش تحلیلی مبتنی بر معیار تغییر مکان مستقیم<sup>۱</sup> زمان کسری را نسبت به تحلیل‌های تاریخچه‌ی زمانی می‌طلبد. استفاده از روش‌های خطی، دانستن زمان تناوب و نسبت میرایی مؤثر برای شکل‌پذیری و سرویس دهی موردنظر یک ساختمان می‌تواند پاسخ غیرخطی سازه را ارائه دهد. بنابراین محاسبه‌ی سختی مؤثر و درصد ترک خوردگی در یک سازه بتن مسلح، با توجه به مشخص نمودن مقدار زمان تناوب مؤثر امکان‌پذیر است. در این نوشتار با تجزیه و تحلیل تعداد زیادی قاب بتن مسلح، تغییرات زمان تناوب و نسبت میرایی سازه بر حسب شکل‌پذیری تغییر مکانی سیستم سازه‌ی ارائه شده است. قاب‌های انتخاب شده<sup>۲</sup> ۱ تا ۶ طبقه، با طول و تعداد دهانه‌های متفاوت هستند. با توجه به نتایج بدست آمده از تحلیل قاب‌ها مشخص شده است که مقدار زمان تناوب ارتعاشی و میرایی سازه با افزایش شکل‌پذیری سازه افزایش خواهد داشت. ولی مقدار افزایش در پارامترهای دینامیکی دارای روند ثابت و یکسان نبوده است. همچنین در قاب‌های با ارتقای و تعداد طبقات یکسان با افزایش طول دهانه از ۳ به ۶ متر علاوه بر کاهش زمان تناوب اولیه‌ی قاب، زمان تناوب مؤثر و نسبت میرایی مؤثر قاب کاهش پیدا می‌کند.

واژگان کلیدی: زمان تناوب مؤثر، میرایی مؤثر، تحلیل غیرخطی، سازه‌ی بتن  
مسلح، زلزله.

vatani@email.com

### مقدمه

مقدار زمان تناوب و میرایی سازه در تحلیل‌ها لحاظ می‌شود. در بیشتر آینین‌نامه‌های تحلیل و طراحی ساختمان در برایر تلاش‌های ناشی از زلزله برای پارامترهای فوق مقادیر ٹابتی پیشنهاد شده است. گرچه دقیقاً مشخص نیست که مقادیر ارائه شده برای کدام سطح عملکرد کاربرد دارند.

با توجه به اینکه در هنگام رخداد زلزله، میرایی و زمان تناوب سازه با توجه به شکل‌پذیری و مقدار آسیب ایجاد شده تغییر می‌کند، استفاده از میرایی و دوره‌ی تناوب مؤثر در محاسبه‌ی تلاش‌های ناشی از زلزله می‌تواند روش ساده و کارآمدی برای محاسبه‌ی سریع عملکرد مناسب سازه باشد.

در طراحی ساختمان‌ها تحت تلاش‌های ناشی از زلزله در آینین‌نامه‌های موجود علاوه بر تحلیل‌های تاریخچه‌ی زمانی، روش‌های ساده‌تری برای تخمین و بدست آوردن عملکرد و رفتار سازه‌ها در هنگام وقوع زلزله وجود دارد: (الف) استفاده از طیف شتاب و بازتاب خطی با استفاده از ضربی عملکرد و رفتار؛ (ب) استفاده از سیستم غیرخطی ساده‌شده.

در طرح پیشنهادی UBC<sup>[۱]</sup> ۹۷، استاندارد ۲۸۰۰<sup>[۲]</sup> و CEN ۹۵<sup>[۳]</sup> از روش اول با استفاده از ضربی کاهش R، عملکرد و رفتار سازه تخمین زده می‌شود. در سال‌های اخیر، توجه و دقت زیادی به سطح و استفاده از روش‌های غیرخطی ساده شده است. روش خطی معادل، پایه و مبنای روش تحلیل استاتیکی غیرخطی است که در بیشتر آینین‌نامه‌های طراحی ساختمان و معیارهای بهسازی لرزه‌ی سازه‌ها استفاده شده است.<sup>[۴-۶]</sup>

با توجه به نقاوت فلسفه و نگرش طراحی و تجزیه و تحلیل دو روش مذکور، معیار و عامل اصلی تحلیل سازه، زمان تناوب آن است. در روش اول (روش استفاده از R) در زمان تحلیل، مقدار نسبت میرایی سازه ثابت است؛ در صورتی که در روش دوم با توجه به تغییر در شکل‌پذیری و عملکرد غیرخطی سیستم سازه‌یی، تغییر در

### مقایسه‌ی کارهای انجام شده برای محاسبه‌ی زمان تناوب و نسبت میرایی مؤثر سازه

اولین کار تحقیقی برای تعیین میرایی ویسکوز و تغییرات آن با توجه به شکل‌پذیری سیستم سازه‌یی در سال ۱۹۶۵ انجام<sup>[۷]</sup> (معادله‌ی ۱) و زمینه‌ی ادامه‌ی تحقیق‌های پژوهشگران دیگر شد. در تحلیل‌های انجام شده، بیشینه‌ی مقدار نسبت میرایی برای

تاریخ: دریافت ۲۵/۱/۱۳۸۶، داوری ۲۱/۸/۱۳۸۶، پذیرش ۱/۴/۱۳۸۷.

در نوشتاری با عنوان «معیار جدید طراحی لرزه‌بی در کشور ژاپن»، مقدار میرایی کشسانی سازه ۵٪ اعلام شد در صورتی که برای طراحی سازه‌ها برای عملکرد اینچنانی معادله ۷ با توجه به نرمی و شکل‌پذیری سازه ارائه شده است: [۱۲]

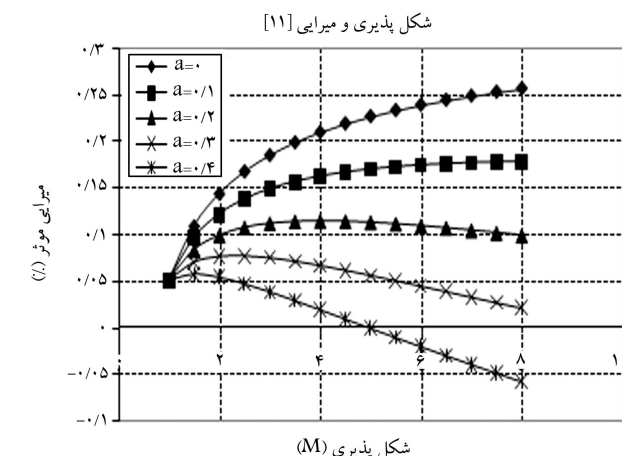
$$\xi_{ef} = \frac{1}{4} \left( 1 - \frac{1}{\sqrt{\mu}} \right) + 0.05 \quad (7)$$

در سال ۲۰۰۳ برای میرایی مؤثر سازه سیستم‌هایی که رفتار و عملکرد الاستوپلاستیک دو خطی دارند، معادله ۸ پیشنهاد شده است: [۱۳]

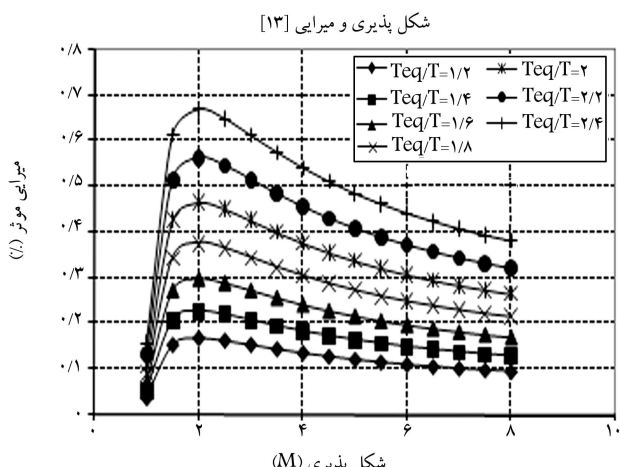
$$\xi_{ef} = \frac{1/12}{\pi} \left( \frac{T_{ef}}{T_i} \right)^{\alpha} + 0.055 \left( \frac{T_{ef}}{T_i} \right)^{\beta} \xi_i \quad (8)$$

معادله ۸ در شکل ۳ ترسیم شده و کاهش در مقدار میرایی بعد از شکل‌پذیری  $\mu = 2$  برای تمامی نسبت دوره‌ی تناوب مؤثر به دوره‌ی تناوب اولیه کاملاً مشهود است ولی با افزایش نسبت دوره‌ی تناوب مؤثر به دوره‌ی تناوب اولیه این کاهش بیشتر می‌شود.

در سال‌های بعد معادله‌های ۹، ۱۰ و ۱۱ برای بدست آوردن مقدار دوره‌ی



شکل ۲. تغییرات نسبت میرایی در معادله‌های ۶ و ۷ با توجه به مقادیر مختلف  $\alpha$ .



شکل ۳. تغییرات نسبت میرایی به مقدار شکل‌پذیری در معادله ۸.

عملکرد الاستوپلاستیک ۹۵٪ ارائه شده است.

$$\xi_{ef} = \frac{2}{\pi} \frac{(\mu - 1)(1 - \alpha)}{\mu^2} \quad (9)$$

در معادله ۹، مقدار  $\alpha$  نسبت سختی سیستم بعد از تسلیم به حالت کشسانی است. تغییرات میرایی با درنظرگرفتن شکل‌پذیری با توجه به معادله ۹ در شکل ۱ ارائه شده است. شکل ۱ نشان می‌دهد که مقدار نسبت میرایی ارائه شده هودسون [۸] بعد از شکل‌پذیری ( $\mu = 2$ ) رو به کاهش است.

برخی پژوهشکاران معادله‌های ۲ و ۳ برای سازه‌های با یک درجه‌ی آزادی را برای تخمین مقدار زمان تناوب و نسبت میرایی مؤثر، با درنظرگرفتن نرمی و شکل‌پذیری سازه ( $\mu$ ) ارائه کرده‌اند: [۹]

$$T_{ef} = T_i [1 + 0.121(\mu - 1)^{0.939}] \quad (2)$$

$$\xi_{ef} = 0.0587(\mu - 1)^{0.371} \quad (3)$$

برخی دیگر نیز معادله ۴ را برای بدست آوردن نسبت میرایی سازه‌های با یک درجه‌ی آزادی پیشنهاد کرده‌اند: [۱۰]

$$\xi_{ef} = 0.02 + 0.2(1 - \frac{1}{\sqrt{\mu}}) \quad (4)$$

در معادله ۴ زمانی که مقدار نرمی و شکل‌پذیری سازه ( $\mu$ ) مساوی ۱ باشد، مقدار میرایی سازه ۲٪ خواهد بود. در صورتی که در پیشتر آین نامه‌های طراحی لرزه‌بی سازه‌ها مقدار میرایی اولیه‌ی سازه معادل ۵٪ پیشنهاد شده است.

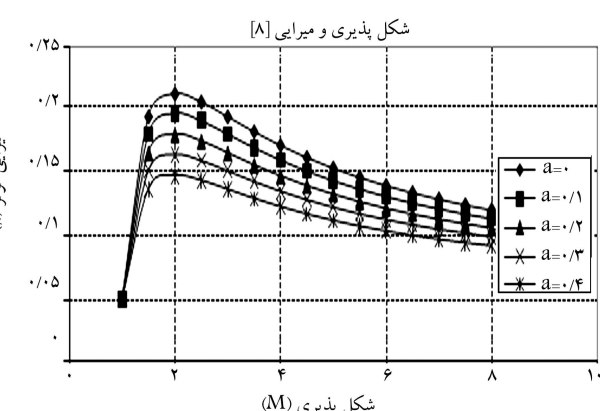
همچنین برای میرایی ساختمان‌های یعن مسلح معادله ۵ ارائه شده است: [۱۱]

$$\xi_{ef} = \xi_i + \frac{1}{\pi} (1 - \frac{1 - \alpha}{\sqrt{\mu}} - \alpha \sqrt{\mu}) \quad (5)$$

در معادله ۵،  $\alpha$  نسبت سختی سیستم به سختی اولیه‌ی سازه بعد از مرحله‌ی تسلیم است و با فرض رفتار الاستوپلاستیک کامل سازه ( $\alpha = 0$ ) معادله ۵ به معادله ۶ تبدیل خواهد شد.

$$\xi_{ef} = \xi_i + \frac{\sqrt{\mu} - 1}{\pi \sqrt{\mu}} \quad (6)$$

نسبت میرایی داده شده در معادله‌های ۵ و ۶ در شکل ۲ با توجه به مقادیر مختلف  $\alpha$  مقایسه شده است. در شکل ۲ با افزایش مقدار  $\alpha$  جواب‌های بدست آمده برای نسبت میرایی معقول به نظر نمی‌رسد.



شکل ۱. تغییرات نسبت میرایی مؤثر به میرایی اولیه به شکل‌پذیری در معادله ۱ با توجه به مقادیر مختلف  $\alpha$ .

خواهد بود (شکل ۴). با توجه به شکل ۴ می‌توان معادله‌های ۱۶ و ۱۷ را نوشت:

$$F_u = F_y \quad K_i \times U_y = K_{ef} \times U_u \quad (16)$$

$$K_{ef} = \frac{1}{\mu} K_i \quad (17)$$

$$T = 2\pi \sqrt{\frac{M}{K}} \quad (18)$$

با فرض اینکه در مدت برگذاری لرزه‌یی جرم سازه تغییر نمی‌کند (شایان ذکر است جرم در سرعت‌های بسیار زیاد تغییر می‌کند ولی تغییرات سرعت هنگام زلزله به اندازه‌یی نیست که باعث تغییرات در جرم سازه شود)، لذا با استفاده از معادله‌ی ۱۸ می‌توان معادله‌ی ۱۹ را نوشت:

$$T_{ef} = T_i \sqrt{\frac{K_i}{K_{ef}}} \quad (19)$$

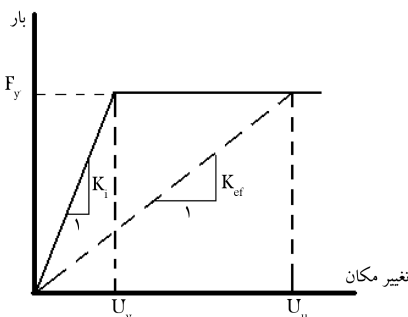
با توجه به منحنی چرخه‌یی رفتار و عملکرد الاستوپلاستیک سیستم (شکل ۵) برای میرایی چرخه‌یی مقدار میرایی را می‌توان با استفاده از معادله‌های ۲۰ و ۲۱ به صورت معادله‌ی ۲۲ نوشت:

$$\xi_{ef} = \xi_v + \xi_h \quad (20)$$

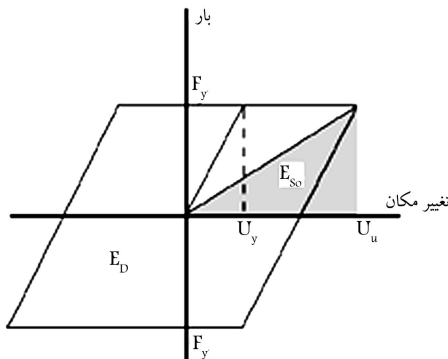
$$\xi_h = \frac{1}{4\pi} \times \frac{E_D}{E_{So}} \quad (21)$$

$$\xi_h = \frac{2(\mu - 1)}{\pi \times \mu} \quad (22)$$

که در معادلات ۲۰ تا ۲۲ پارامترهای  $E_D$  و  $E_{So}$  به ترتیب میرایی و یسکوژو میرایی چرخه‌یی هستند. در این حالت فرض می‌شود که لغزش و سرخوردگی بین میلگرد و بتون به وجود نیامده و لهشگی<sup>۲</sup> در منحنی چرخه‌یی ایجاد نشده است.



شکل ۴. مقایسه‌یی بین سختی مؤثر و سختی اولیه در رفتار الاستوپلاستیک کامل.



شکل ۵. منحنی چرخه‌یی الاستوپلاستیک کامل با مقادیر انرژی جذب شده و کشسانی.

تناوب و میرایی مؤثر سازه با توجه به شکل پذیری و نرمی ( $\mu$ ) سازه ارائه شده است.<sup>[۱۲]</sup>

$$\mu < 4$$

$$T_{ef} = T_i [1 + 0,1262(\mu - 1)^2 - 0,0224(\mu - 1)^3] \quad (9)$$

$$\xi_{ef} = \xi_v + 0,0731(\mu - 1)^2 - 1,0826(\mu - 1)^3 \quad (9)$$

$$4 \leq \mu \leq 6,5$$

$$T_{ef} = T_i [1 + 0,1731 + 0,1194(\mu - 1)] \quad (10)$$

$$\xi_{ef} = \xi_v + 11,6899 + 1,05791(\mu - 1) \quad (10)$$

$$\mu > 6,5$$

$$T_{ef} = T_i [1 + 0,870 \left( \sqrt{\frac{\mu - 1}{1 + 0,1[(\mu - 1) - 0,1]}} \right) - 1] \quad (11)$$

$$\xi_{ef} = \xi_v + 24,383 \frac{0,360(\mu - 1) - 1}{[0,360(\mu - 1)]^2} \left( \frac{T_{ef}}{T_i} \right)^2 \quad (11)$$

در [۱۳] FEMA-۴۴۰ که برای بهبود عملکرد و روند تحلیل غیرخطی تهیه شده است، معادله‌های ۱۳ و ۱۴ برای بدست آوردن دوره‌ی تناوب و میرایی مؤثر ارائه شده است؛ که شباهت‌های زیادی به معادلات ارائه شده ایوان و همکارانش دارد.<sup>[۱۴]</sup>

$$\mu < 4$$

$$T_{ef} = T_i [1 + 0,167(\mu - 1)^2 - 0,031(\mu - 1)^3] \quad (12)$$

$$\xi_{ef} = 5 + 4,85(\mu - 1)^2 - 1,08(\mu - 1)^3 \quad (12)$$

$$4 \leq \mu \leq 6,5$$

$$T_{ef} = T_i [1,283 + 0,129(\mu - 1)] \quad (13)$$

$$\xi_{ef} = 18,6 + 0,318(\mu - 1) \quad (13)$$

$$\mu > 6,5$$

$$T_{ef} = T_i [1 + 0,89 \left[ \sqrt{\left( \frac{\mu - 1}{1 + 0,5(\mu - 1) - 1} \right)} - 1 \right]] \quad (14)$$

$$\xi_{ef} = 5 + 19,0 \frac{1,064(\mu - 1) - 1}{[0,64(\mu - 1)]^2} \left[ \frac{T_{ef}}{T_i} \right]^2 \quad (14)$$

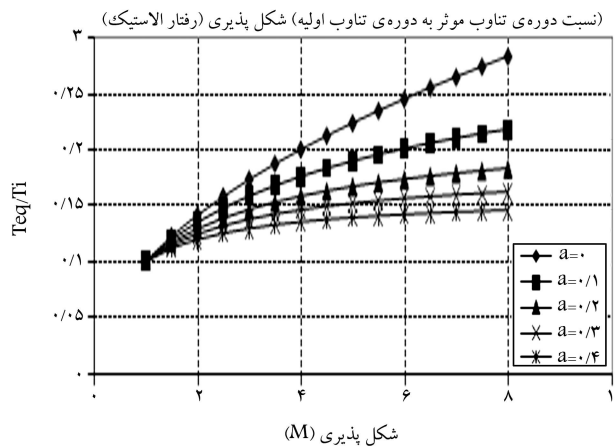
لازم است دوره‌ی تناوب مؤثر ارائه شده در معادله‌ی ۱۴<sup>[۱۵]</sup> به صورت زیر اصلاح شود:

$$T_{eq} = T_i [1 + 0,89 \left[ \sqrt{\left( \frac{\mu - 1}{1 + 0,5[(\mu - 1) - 1]} \right)} - 1 \right]] \quad (15)$$

مقادیر نسبت زمان تناوب‌های ارائه شده در [۱۵] FEMA ۴۴۰ بیشتر از مقادیر پیشنهادی ایوان و همکارانش<sup>[۱۶]</sup> است، در صورتی که میرایی مؤثر FEMA ۴۴۰ کمتر از مقادیر پیشنهادی ایوان و همکارانش<sup>[۱۷]</sup> است.

## محاسبه‌ی دوره‌ی تناوب و میرایی مؤثر در رفتار الاستوپلاستیک سازه‌ها

(الف) رفتار الاستوپلاستیک کامل: در سیستم الاستوپلاستیک کامل نیروی گسیختگی و تسیلیم یکی است و شبیه منحنی بار-تغییر مکان بعد از نقطه‌ی تسیلیم صفر



شکل ۸. تغییرات نسبت دوره‌ی تناوب مؤثر به دوره‌ی تناوب اولیه به شکل پذیری با توجه به مقادیر مختلف  $\alpha$ .

با توجه به شکل‌های ۷ و ۸ مشاهده می‌شود که نسبت میرایی مؤثر سازه با افزایش شکل‌پذیری و ضریب سخت‌شدگی مقدار کمی کاهش پیدا می‌کند که از لحاظ منطقی و عملکردی، معقول به نظر نمی‌رسد.

### روند انجام تحلیل

برای بدست آوردن نسبت میرایی و دوره‌ی تناوب مؤثر سازه‌های بتن مسلح، عدد قاب بتن مسلح با شکل‌پذیری متوسط تحلیل شدند (شکل ۹). با توجه به اینکه تعداد دهانه و نسبت ارتفاع به طول دهانه ( $h/L$ ) (نسبت ارتفاع به طول دهانه) می‌تواند بر عملکرد لرزه‌ی سیستم و مودهای شکست سیستم مؤثر باشد، در تجزیه و تحلیل‌های تجزیه و تحلیل‌ها مقدار  $h$  (ارتفاع طبقه) ثابت و ۳ مترولی مقدار  $L$  (طول دهانه) به ترتیب ۵، ۴، ۳، ۵ و ۶ متر درنظر گرفته شده است.

برای طراحی سیستم با فرض اینکه شدت بار مرده و زنده‌ی اعمال شده به سقف به ترتیب  $65^0 \text{ Kgf/m}^3$  و  $20^0 \text{ Kgf/m}^3$  باشد، مقدار دهانه‌ی از سقف که بار آن بر روی تیر مؤثر است ۵ متر فرض شده است. بنابراین شدت بار مرده و زنده‌ی اعمال شده به تیر به ترتیب  $3250 \text{ Kgf/m}$  و  $1000 \text{ Kgf/m}$  درنظر گرفته شده است. با توجه به معیار پیشنهادشده آین نامه‌ی استاندارد [۱]، ۲۰٪ بار زنده در تجزیه و تحلیل‌ها لحاظ شده است. برای تجزیه و تحلیل قاب با آین نامه‌ی استاندارد [۱]، ۲۰٪ فرض شده است که کاربری ساختمان مسکونی و قاب با شکل‌پذیری متوسط و بر روی خاک نوع I قرار گرفته است. با توجه به بارهای اعمال شده ابتدا قاب‌ها مورد تحلیل و طراحی قرار گرفتند و برای طراحی قاب‌های بتنی معیار ACI-318 [۱۶] لحاظ شده است. در طراحی، مقاومت بتن  $210 \text{ Kgf/cm}^2$  و مقاومت فولاد  $400 \text{ Kgf/cm}^2$  درنظر گرفته شده است. برای مناسب و بهینه‌بودن طراحی عناصر سازه‌ی، نسبت تنش‌های ایجاد شده در اعضاً تشکیل دهنده‌ی قاب‌ها با سعی و خطای بین ۰.۸ تا ۱ محدود شده‌اند. زمان تناوب اولیه‌ی قاب‌ها انتخاب شده با فرض رفتار کشسانی عناصر تشکیل دهنده‌ی سیستم و صلب بودن سقف بدست آمده است. [۱۷]

در تجزیه و تحلیل غیرخطی استاتیکی قاب‌ها، معیارهای اینمی جانی ATC ۴۰ [۱۸] لحاظ و منحنی عملکردی سیستم الاستوپلاستیک کامل فرض

ب) رفتار الاستوپلاستیک همراه با سخت‌شدگی (شکل ۶): در این حالت بعد از حد تسیلیم، سختی سیستم صفر نیست و ( $\alpha$ ) درصدی از سختی اولیه‌ی سیستم خواهد بود.

در این حالت با توجه به شکل ۶ مقدار سختی را می‌توان با استفاده از رابطه‌های ۲۳ تا ۲۶ به دست آورد.

$$F_u = K_i \times U_y + \alpha K_i(U_u - U_y) \quad (23)$$

$$F_u = K_i \times U_y + \alpha K_i(\mu U_y - U_y) \quad (24)$$

$$F_u = K_i U_y (1 + \alpha \mu - \alpha) \quad (25)$$

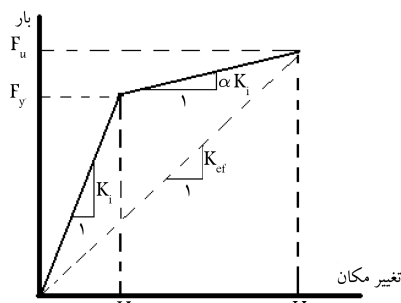
$$K_{ef} = K_i \frac{1 + \alpha \mu - \alpha}{\mu} \quad (26)$$

همچنین مقدار زمان تناوب مؤثر و میرایی چرخه‌ی از رابطه‌های ۲۷ و ۲۸ به دست می‌آید.

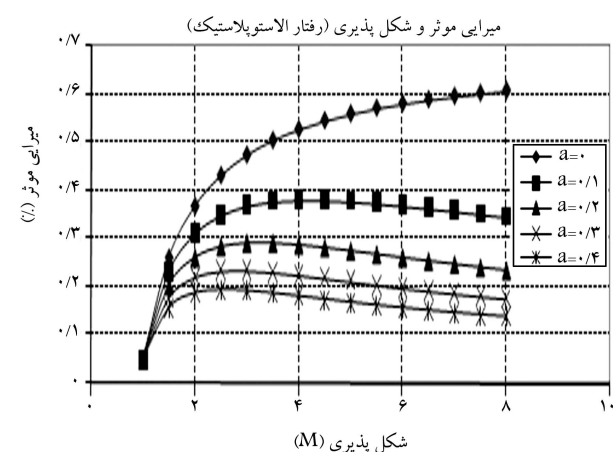
$$T_{ef} = T_i \sqrt{\frac{\mu}{1 + \alpha \mu - \alpha}} \quad (27)$$

$$\xi_h = \frac{2(\mu - 1)(1 - \alpha)}{\pi \mu (1 + \alpha \mu - \alpha)} \quad (28)$$

در معادلات رفتار الاستوپلاستیک همراه با سخت‌شدگی، با صفر قراردادن مقدار  $\alpha$  می‌توان معادله‌های مقادیر به دست آمده توسعه رفتار الاستوپلاستیک کامل را به دست آورد. مقدار تغییرات میرایی و نسبت دوره‌ی تناوب مؤثر به دوره‌ی تناوب اولیه در شکل‌های ۷ و ۸ داده شده است.



شکل ۶. منحنی رفتار الاستوپلاستیک.



شکل ۷. تغییرات ضریب میرایی نسبت به شکل پذیری با توجه به مقادیر مختلف  $\alpha$ .

غیرخطی ارائه شده در ATC<sup>۴۰</sup><sup>[۱۸]</sup> تغییر و کاهش یافته است) به دست آید که تفاوت بارزی بین نقاط عملکرد به دست آمده بین دو نرم‌افزار فوق نبود.

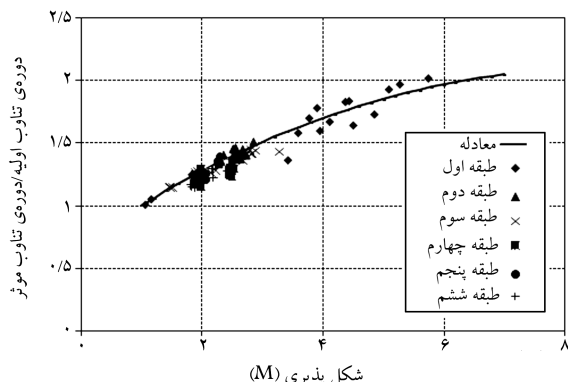
قبهای انتخاب شده جزء قابهای با ارتفاع کم تا متوسط هستند که در آن‌ها دوره‌ی تناوب ارتعاشی سازه کوچک است. بنابراین اعمال بار جانی به شکل مثلى برای این گونه سازه‌ها می‌تواند توزیع مناسبی باشد. نتایج تجزیه و تحلیل در قابهای طراحی شده در جدول‌های ۱ تا ۶ داده شده است و مقایسه‌ی نتایج به دست آمده از تحلیل و مقادیر پیشنهادی پیشنهادی در استاندارد FEM<sup>۳۵۶</sup><sup>[۲]</sup> و DSD<sup>۱۵</sup> و دستورالعمل بهسازی لرزه‌ی<sup>[۱۹]</sup> برای قابهای مزبور، با توجه به مشخصات دینامیکی آنها صورت گرفته است.

با توجه به جوابهای به دست آمده از تجزیه و تحلیل‌ها، مقادیر نسبت میرایی مؤثر، مقدار شکل‌پذیری و زمان تناوب اصلی و مؤثر داده شده است. با توجه به مقادیر به دست آمده در جدول‌های ۱ تا ۶، مناسب‌ترین منحنی برای رابطه‌ی بین شکل‌پذیری و نسبت دوره‌ی تناوب مؤثر به دوره‌ی تناوب اولیه از شکل ۱۰، معادله‌ی ۲۹ و برای رابطه‌ی بین شکل‌پذیری و نسبت میرایی از شکل ۱۱، معادله‌ی ۳۰ استخراج شده است.

$$\frac{T_{eq}}{T_0} = 0,0004\mu^3 - 0,024\mu^2 + 0,3423\mu + 0,6813 \quad (۲۹)$$

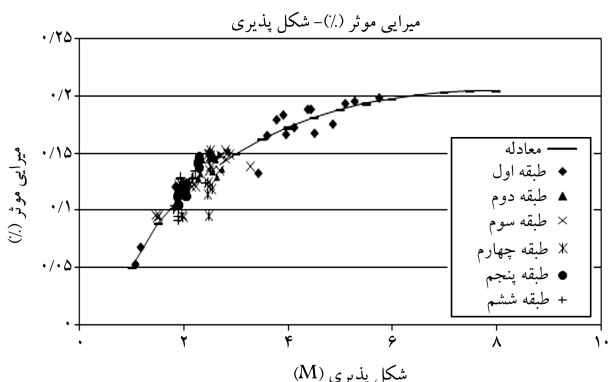
$$\xi_{eq} = 0,05 + 0,0412 \ln(1,204\mu - 0,203)^2 - 0,00006\mu^3 \quad (۳۰)$$

با توجه به اینکه برای ابعاد ستون قاب یک طبقه مقادیر کمینه‌ی پیشنهادی

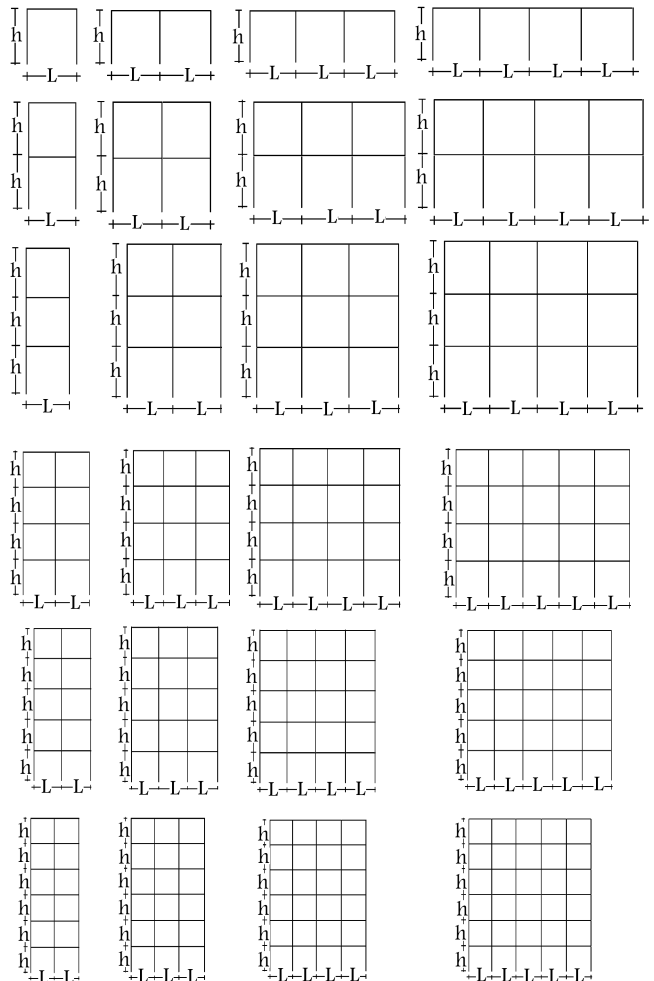


شکل پذیری (M)

شکل ۱۰. انتخاب معادله‌ی مناسب برای تغییرات نسبت دوره‌ی تناوب مؤثر به دوره‌ی تناوب اولیه با توجه به مقدار شکل‌پذیری.



شکل ۱۱. تغییرات نسبت میرایی با توجه به مقدار شکل‌پذیری.



شکل ۹. قابهای بتن مسلح انتخاب شده در تجزیه و تحلیل.

شده است. در تحلیل غیرخطی سیستم، تغییر مکان هدف با توجه به معیارهای FEM<sup>۳۵۶</sup><sup>[۱۵]</sup> و بهمنزله‌ی مینا و فرض اولیه‌ی تجزیه و تحلیل‌ها برای نقطه‌ی عملکرد انتخاب و سپس سعی شده است نقطه‌ی عملکرد سازه با روش طیف ظرفیت<sup>۳</sup> به دست آید. قابل ذکر است که انتخاب یک تغییر مکان و استفاده از آن در تحلیل غیرخطی استاتیکی در زمانی که آن یک تغییر مکان واقعی سیستم نباشد، نقطه‌ی عملکرد و نیز جایگاه متفاوت‌تری از آن نقطه را ارائه نمی‌نماید. لذا در تجزیه و تحلیل‌های انجام‌شده با سعی و خطأ، نقطه‌ی عملکرد واقعی به دست آمده و از آن بهمنزله‌ی تغییر مکان نقطه‌ی عملکرد در تجزیه و تحلیل‌ها استفاده شده است.

برای تحلیل‌ها از نرم‌افزار SAP<sup>۲۰۰۰</sup> ver<sup>۱۰</sup><sup>[۱۹]</sup> و IDARC<sup>۶,۲</sup><sup>[۲۰]</sup> برای طراحی و تجزیه و تحلیل غیرخطی استاتیکی با فرض توزیع منظمی بار جانی از نرم‌افزار SAP<sup>۲۰۰۰</sup> ver<sup>۱۰</sup><sup>[۱۹]</sup> استفاده شده است. سپس با استفاده از نرم افزار IDARC<sup>۶,۲</sup><sup>[۲۰]</sup> پوش تغییر مکان سازه تحت همان توزیع بار جانی مثبتی به دست آمده و کنترل شده است. شایان ذکر است نرم افزار IDARC<sup>۶,۲</sup><sup>[۲۰]</sup> نقطه‌ی عملکرد موردنظر سازه را ارائه نمی‌دهد بلکه منحنی پوش تحلیل استاتیکی غیرخطی سازه را ارائه می‌دهد که با نوشتن یک برنامه‌ی رایانه‌ی ساده، سعی شده است نقطه‌ی عملکرد سازه ( محل تلاقی طیف ظرفیت به دست آمده از نرم‌افزار UBC<sup>۹۷</sup><sup>[۲۱]</sup> و طیف طراحی پیشنهادی IDARC<sup>۶,۲</sup><sup>[۱۹]</sup> که با توجه به عملکرد

جدول ۱. پارامترهای ارتعاشی قاب‌های بتن مسلح ۱ طبقه با دهانه‌های متفاوت و ارتفاع ثابت ۳ متر.

تعداد دهانه‌ی قاب	طول دهانه‌ی قاب (L) (m)	دوره‌ی تناوب الیه‌ی T. (Sec)	دوره‌ی تناوب نقطه‌ی عملکرد (T <sub>eq</sub> ) (Sec)	دوره‌ی تناوب پیشنهادی (Sec)	تغییر مکان کشسانی	تغییر مکان نقطه‌ی عملکرد	تغییر مکان پیشنهادی سازه	تغییر مکان پیشنهادی سازه	تغییر مکان هدف پیشنهادی FEMA-۳۵۶	تغییر مکان هدف پیشنهادی FEMA-۳۵۶	ضریب شکل‌پذیری $\mu$	میرایی مؤثر در نقطه‌ی عملکرد ( $\epsilon_{eq}$ )
یک دهانه	۳	°/۳۰۲	°/۵۱۲	°/۱۵۹	°/۰۰۹	°/۰۳۴	°/۰۱۳	°/۰۱۷	°/۰۵۶۶۶	°/۰۵۶۶۶	۳/۷۸	°/۱۸۰
	۴	°/۳۶۱	°/۴۵۰	°/۱۵۹	°/۰۱۹	°/۰۳۵	°/۰۱۳	°/۰۱۷	°/۰۸۰۹۶	°/۰۸۰۹۶	۱/۸۴	°/۱۲۱
	۵	°/۲۹۳	°/۳۰۸	°/۱۵۹	°/۰۱۸	°/۰۲۱	°/۰۱۳	°/۰۱۷	°/۰۵۳۳۳	°/۰۵۳۳۳	۱/۱۷	°/۰۶۸
	۶	°/۲۴۶	°/۲۴۸	°/۱۵۹	°/۰۱۴	°/۰۱۵	°/۰۱۳	°/۰۱۷	°/۰۳۷۵۹	°/۰۳۷۵۹	۱/۰۷	°/۰۵۳
دو دهانه	۳	°/۳۴۰	°/۶۸۴	°/۱۵۹	°/۰۰۸	°/۰۴۶	°/۰۱۳	°/۰۱۷	°/۰۵۶۶۶	°/۰۵۶۶۶	۵/۷۵	°/۱۹۹
	۴	°/۲۸۵	°/۵۲۰	°/۱۵۹	°/۰۰۸	°/۰۳۵	°/۰۱۳	°/۰۱۷	°/۰۸۰۹۶	°/۰۸۰۹۶	۴/۳۸	°/۱۸۹
	۵	°/۳۲۷	°/۵۱۶	°/۱۵۹	°/۰۱۰	°/۰۳۶	°/۰۱۳	°/۰۱۷	°/۰۵۳۳۳	°/۰۵۳۳۳	۳/۶۰	°/۱۶۶
	۶	°/۲۷۴	°/۳۷۳	°/۱۵۹	°/۰۰۷	°/۰۲۴	°/۰۱۳	°/۰۱۷	°/۰۳۷۵۹	°/۰۳۷۵۹	۳/۴۳	°/۱۳۳
سه دهانه	۳	°/۳۵۵	°/۶۸۲	°/۱۵۹	°/۰۰۹	°/۰۴۵	°/۰۱۳	°/۰۱۷	°/۰۷۸۲۹	°/۰۷۸۲۹	۵/۱۰	°/۱۹۴
	۴	°/۲۹۷	°/۵۴۴	°/۱۵۹	°/۰۰۸	°/۰۳۶	°/۰۱۳	°/۰۱۷	°/۰۵۴۸۰	°/۰۵۴۸۰	۴/۴۴	°/۱۸۹
	۵	°/۳۴۱	°/۵۴۴	°/۱۵۹	°/۰۱۰	°/۰۳۸	°/۰۱۳	°/۰۱۷	°/۰۷۲۲۴	°/۰۷۲۲۴	۳/۹۶	°/۱۶۷
	۶	°/۲۸۵	°/۴۶۷	°/۱۵۹	°/۰۰۷	°/۰۳۲	°/۰۱۳	°/۰۱۷	°/۰۵۰۴۶	°/۰۵۰۴۶	۴/۵۱	°/۱۶۸
چهار دهانه	۳	°/۳۶۳	°/۷۱۳	°/۱۵۹	°/۰۰۹	°/۰۴۷	°/۰۱۳	°/۰۱۷	°/۰۸۱۸۶	°/۰۸۱۸۶	۵/۲۸	°/۱۹۶
	۴	°/۳۰۴	°/۵۴۰	°/۱۵۹	°/۰۰۹	°/۰۳۶	°/۰۱۳	°/۰۱۷	°/۰۵۷۴۱	°/۰۵۷۴۱	۳/۹۱	°/۱۸۴
	۵	°/۳۴۸	°/۵۸۰	°/۱۵۹	°/۰۱۰	°/۰۴۰	°/۰۱۳	°/۰۱۷	°/۰۷۵۲۳	°/۰۷۵۲۳	۴/۱۲	°/۱۷۳
	۶	°/۲۹۱	°/۵۰۲	°/۱۵۹	°/۰۰۷	°/۰۳۴	°/۰۱۳	°/۰۱۷	°/۰۵۲۶۱	°/۰۵۲۶۱	۴/۸۶	°/۱۷۶

جدول ۲. پارامترهای ارتعاشی قاب‌های بتن مسلح ۲ طبقه با دهانه‌های متفاوت و ارتفاع ثابت ۳ متر.

تعداد دهانه‌ی قاب	طول دهانه‌ی قاب (L) (m)	دوره‌ی تناوب الیه‌ی T. (Sec)	دوره‌ی تناوب نقطه‌ی عملکرد (T <sub>eq</sub> ) (Sec)	دوره‌ی تناوب پیشنهادی (Sec)	تغییر مکان کشسانی	تغییر مکان نقطه‌ی عملکرد	تغییر مکان پیشنهادی سازه	تغییر مکان پیشنهادی سازه	تغییر مکان هدف پیشنهادی FEMA-۳۵۶	تغییر مکان هدف پیشنهادی FEMA-۳۵۶	ضریب شکل‌پذیری $\mu$	میرایی مؤثر در نقطه‌ی عملکرد ( $\epsilon_{eq}$ )
یک دهانه	۳	°/۵۴۸	°/۷۹۵	°/۲۶۸	°/۰۲۷	°/۰۶۸	°/۰۲۵	°/۰۵۳۵	°/۱۸۱۵	۲/۵۲	°/۱۵۰	
	۴	°/۴۷۰	°/۷۰۸	°/۲۶۸	°/۰۲۱	°/۰۶۰	°/۰۲۵	°/۰۵۳۵	°/۱۴۷۹	۲/۸۶	°/۱۵۲	
	۵	°/۵۴۸	°/۷۲۸	°/۲۶۸	°/۰۲۹	°/۰۶۶	°/۰۲۵	°/۰۵۳۵	°/۱۸۱۵	۲/۲۸	°/۱۲۸	
	۶	°/۴۶۶	°/۶۳۸	°/۲۶۸	°/۰۲۲	°/۰۵۸	°/۰۲۵	°/۰۵۳۵	°/۱۴۶۲	۲/۶۴	°/۱۲۹	
دو دهانه	۳	°/۶۰۵	°/۸۷۶	°/۲۶۸	°/۰۲۸	°/۰۷۵	°/۰۲۵	°/۰۵۳۵	°/۲۰۷۱	۲/۶۸	°/۱۴۹	
	۴	°/۵۱۵	°/۷۰۲	°/۲۶۸	°/۰۲۵	°/۰۶۴	°/۰۲۵	°/۰۵۳۵	°/۱۶۷۱	۲/۵۶	°/۱۵۰	
	۵	°/۵۹۹	°/۸۰۸	°/۲۶۸	°/۰۳۱	°/۰۷۲	°/۰۲۵	°/۰۵۳۵	°/۲۰۴۳	۲/۳۲	°/۱۲۲	
	۶	°/۵۰۷	°/۷۰۹	°/۲۶۸	°/۰۲۳	°/۰۶۳	°/۰۲۵	°/۰۵۳۵	°/۱۶۳۶	۲/۷۴	°/۱۳۶	
سه دهانه	۳	°/۶۲۷	°/۸۷۹	°/۲۶۸	°/۰۲۹	°/۰۷۶	°/۰۲۵	°/۰۵۳۵	°/۲۱۷۲	۲/۶۲	°/۱۴۴	
	۴	°/۵۳۲	°/۷۶۹	°/۲۶۸	°/۰۲۶	°/۰۶۶	°/۰۲۵	°/۰۵۳۵	°/۱۷۴۵	۲/۵۴	°/۱۴۸	
	۵	°/۶۱۹	°/۷۷۲	°/۲۶۸	°/۰۳۹	°/۰۷۲	°/۰۲۵	°/۰۵۳۵	°/۲۱۳۵	۱/۸۵	°/۱۱۶	
	۶	°/۵۲۸	°/۷۲۱	°/۲۶۸	°/۰۲۵	°/۰۶۴	°/۰۲۵	°/۰۵۳۵	°/۱۷۲۷	۲/۵۶	°/۱۳۴	
چهار دهانه	۳	°/۶۳۹	°/۹۰۵	°/۲۶۸	°/۰۳۰	°/۰۷۷	°/۰۲۵	°/۰۵۳۵	°/۲۲۲۷	۲/۵۷	°/۱۴۶	
	۴	°/۵۴۲	°/۷۶۰	°/۲۶۸	°/۰۲۸	°/۰۶۶	°/۰۲۵	°/۰۵۳۵	°/۱۷۸۸	۲/۳۶	°/۱۴۴	
	۵	°/۶۳۰	°/۷۹۱	°/۲۶۸	°/۰۳۹	°/۰۷۴	°/۰۲۵	°/۰۵۳۵	°/۲۱۸۶	۱/۹۰	°/۱۱۶	
	۶	°/۵۳۲	°/۷۴۵	°/۲۶۸	°/۰۲۴	°/۰۶۴	°/۰۲۵	°/۰۵۳۵	°/۱۷۴۵	۲/۶۷	°/۱۳۸	

جدول ۳. پارامترهای ارتعاشی قاب‌های بتن مسلح ۳ طبقه با دهانه‌های متفاوت و ارتفاع ثابت ۳ متر.

تعداد دهانه‌ی قاب	طول دهانه‌ی قاب (L) (m)	دوره‌ی تناوب اولیه‌ی T. (Sec)	دوره‌ی تناوب نقطه‌ی پیشنهادی عملکرد (T <sub>eq</sub> ) (Sec)	دوره‌ی تناوب نقطه‌ی کشسانی سازه (m)	تغییر مکان کشسانی سازه (m)	تغییر مکان نقطه‌ی عملکرد سازه (m)	تغییر مکان نقطه‌ی عملکرد سازه (m)	تغییر مکان هدف پیشنهادی FEMA-۳۵۶ (بادوره‌ی تناوب پیشنهادی) در ستون اول)	تغییر مکان هدف پیشنهادی FEMA-۳۵۶ (بادوره‌ی تناوب به دست آمده در ستون اول)	ضریب شکل‌بندیری $\mu$	میرایی مؤثر در نقطه‌ی عملکرد ( $\xi_{eq}$ )
یک دهانه	۳	۰,۸۱۰	۱,۰۲۰	۰,۳۶۴	۰,۰۴۵	۰,۰۹۷	۰,۰۳۳۸	۰,۱۰۷	۰,۳۳۱۰۳۹	۲,۱۶	۰,۱۲۱
	۴	۰,۶۹۹	۰,۹۴۶	۰,۳۶۴	۰,۰۳۲	۰,۰۸۶	۰,۰۳۳۸	۰,۱۰۷	۰,۲۷۱۹۷۹	۲,۶۹	۰,۱۳۵
	۵	۰,۶۱۴	۰,۸۷۶	۰,۳۶۴	۰,۰۲۴	۰,۰۷۹	۰,۰۳۳۸	۰,۱۰۷	۰,۲۲۸۸۰۱	۳,۲۹	۰,۱۳۹
	۶	۰,۷۰۲	۰,۸۹۶	۰,۳۶۴	۰,۰۳۸	۰,۰۸۵	۰,۰۳۳۸	۰,۱۰۷	۰,۲۷۳۵۳۷	۲,۲۴	۰,۱۲۱
دو دهانه	۳	۰,۶۲۴	۰,۸۹۵	۰,۳۶۴	۰,۰۲۷	۰,۰۷۸	۰,۰۳۳۸	۰,۱۰۷	۰,۲۳۳۷۸۳	۲,۸۹	۰,۱۴۹
	۴	۰,۷۵۸	۰,۹۲۳	۰,۳۶۴	۰,۰۴۵	۰,۰۸۹	۰,۰۳۳۸	۰,۱۰۷	۰,۳۰۳۰۱۱	۱,۹۸	۰,۱۱۴
	۵	۰,۶۶۲	۰,۸۳۲	۰,۳۶۴	۰,۰۴۱	۰,۰۷۸	۰,۰۳۳۸	۰,۱۰۷	۰,۲۵۲۹۵۵	۱,۹۰	۰,۱۲۲
	۶	۰,۷۵۶	۰,۸۶۵	۰,۳۶۴	۰,۰۶۰	۰,۰۸۸	۰,۰۳۳۸	۰,۱۰۷	۰,۳۰۱۹۴۵	۱,۴۷	۰,۰۹۶
سه دهانه	۳	۰,۶۴۲	۰,۹۰۴	۰,۳۶۴	۰,۰۲۸	۰,۰۷۹	۰,۰۳۳۸	۰,۱۰۷	۰,۲۴۲۸۱۷	۲,۸۲	۰,۱۴۵
	۴	۰,۵۸۳	۰,۸۲۵	۰,۳۶۴	۰,۰۲۵	۰,۰۷۱	۰,۰۳۳۸	۰,۱۰۷	۰,۲۱۳۵۲۹	۲,۸۴	۰,۱۵۰
	۵	۰,۶۸۱	۰,۸۴۳	۰,۳۶۴	۰,۰۴۲	۰,۰۸۰	۰,۰۳۳۸	۰,۱۰۷	۰,۲۶۲۶۸۱	۱,۹۰	۰,۱۱۹
	۶	۰,۷۷۶	۰,۸۸۲	۰,۳۶۴	۰,۰۶۱	۰,۰۹۱	۰,۰۳۳۸	۰,۱۰۷	۰,۳۱۲۶۴۳	۱,۴۹	۰,۰۹۴
چهار دهانه	۳	۰,۶۵۲	۰,۹۱۹	۰,۳۶۴	۰,۰۲۹	۰,۰۷۹	۰,۰۳۳۸	۰,۱۰۷	۰,۲۴۷۸۷۳	۲,۷۲	۰,۱۴۸
	۴	۰,۵۹۱	۰,۸۵۲	۰,۳۶۴	۰,۰۲۶	۰,۰۷۳	۰,۰۳۳۸	۰,۱۰۷	۰,۲۱۷۴۴۵	۲,۸۱	۰,۱۵۳
	۵	۰,۶۹۰	۰,۸۷۶	۰,۳۶۴	۰,۰۴۲	۰,۰۸۱	۰,۰۳۳۸	۰,۱۰۷	۰,۲۶۷۳۲۰	۱,۹۳	۰,۱۲۵
	۶	۰,۷۸۸	۰,۸۹۸	۰,۳۶۴	۰,۰۶۰	۰,۰۹۲	۰,۰۳۳۸	۰,۱۰۷	۰,۳۱۹۱۰۵	۱,۵۳	۰,۰۹۵

جدول ۴. پارامترهای ارتعاشی قاب‌های بتن مسلح ۴ طبقه با دهانه‌های متفاوت و ارتفاع ثابت ۳ متر.

تعداد دهانه‌ی قاب	طول دهانه‌ی قاب (L) (m)	دوره‌ی تناوب اولیه‌ی T. (Sec)	دوره‌ی تناوب نقطه‌ی پیشنهادی عملکرد (T <sub>eq</sub> ) (Sec)	دوره‌ی تناوب نقطه‌ی کشسانی سازه (m)	تغییر مکان کشسانی سازه (m)	تغییر مکان نقطه‌ی عملکرد سازه (m)	تغییر مکان نقطه‌ی عملکرد سازه (m)	تغییر مکان هدف پیشنهادی FEMA-۳۵۶ (بادوره‌ی تناوب پیشنهادی) در ستون اول)	تغییر مکان هدف پیشنهادی FEMA-۳۵۶ (بادوره‌ی تناوب به دست آمده در ستون اول)	ضریب شکل‌بندیری $\mu$	میرایی مؤثر در نقطه‌ی عملکرد ( $\xi_{eq}$ )
یک دهانه	۳	۰,۸۲۸	۱,۰۶۷	۰,۴۵۱	۰,۰۵۱	۰,۱۰۱	۰,۰۴۵	۰,۱۵۷۴۷	۰,۳۵۳۹۹	۱,۹۸	۰,۱۲۱
	۴	۰,۷۵۴	۰,۹۶۳	۰,۴۵۱	۰,۰۳۷	۰,۰۹۲	۰,۰۴۵	۰,۱۵۷۴۷	۰,۳۱۲۴۵	۲,۴۹	۰,۱۳۵
	۵	۰,۶۸۹	۰,۹۳۱	۰,۴۵۱	۰,۰۳۴	۰,۰۸۵	۰,۰۴۵	۰,۱۵۷۴۷	۰,۲۷۷۰۷	۲,۵۰	۰,۱۳۹
	۶	۰,۷۸۸	۰,۹۴۵	۰,۴۵۱	۰,۰۴۸	۰,۰۹۴	۰,۰۴۵	۰,۱۵۷۴۷	۰,۳۳۱۳۸	۱,۹۶	۰,۱۲۱
دو دهانه	۳	۰,۸۵۰	۱,۰۵۹	۰,۴۵۱	۰,۰۴۲	۰,۱۰۳	۰,۰۴۵	۰,۱۵۷۴۷	۰,۳۶۶۵۹	۲,۴۵	۰,۱۴۹
	۴	۰,۷۷۳	۰,۹۹۱	۰,۴۵۱	۰,۰۳۸	۰,۰۹۳	۰,۰۴۵	۰,۱۵۷۴۷	۰,۳۲۲۹۹	۲,۴۵	۰,۱۱۴
	۵	۰,۷۰۵	۰,۹۱۸	۰,۴۵۱	۰,۰۳۴	۰,۰۸۵	۰,۰۴۵	۰,۱۵۷۴۷	۰,۲۸۵۸۶	۲,۵۰	۰,۱۲۲
	۶	۰,۸۰۶	۰,۹۴۲	۰,۴۵۱	۰,۰۴۹	۰,۰۹۶	۰,۰۴۵	۰,۱۵۷۴۷	۰,۳۴۱۵۱	۱,۹۶	۰,۰۹۶
سه دهانه	۳	۰,۸۶۲	۱,۰۸۷	۰,۴۵۱	۰,۰۴۲	۰,۱۰۴	۰,۰۴۵	۰,۱۵۷۴۷	۰,۳۷۳۵۱	۲,۴۸	۰,۱۴۵
	۴	۰,۷۸۳	۰,۹۷۰	۰,۴۵۱	۰,۰۳۸	۰,۰۹۴	۰,۰۴۵	۰,۱۵۷۴۷	۰,۳۲۸۵۸	۲,۴۷	۰,۱۵۰
	۵	۰,۷۱۴	۰,۹۲۲	۰,۴۵۱	۰,۰۳۴	۰,۰۸۶	۰,۰۴۵	۰,۱۵۷۴۷	۰,۲۹۰۵۵	۲,۵۳	۰,۱۱۹
	۶	۰,۸۱۷	۰,۹۳۸	۰,۴۵۱	۰,۰۴۹	۰,۰۹۷	۰,۰۴۵	۰,۱۵۷۴۷	۰,۳۴۷۷۴	۱,۹۸	۰,۰۹۴
چهار دهانه	۳	۰,۸۶۹	۱,۰۶۵	۰,۴۵۱	۰,۰۴۲	۰,۱۰۵	۰,۰۴۵	۰,۱۵۷۴۷	۰,۳۷۷۵۶	۲,۵۰	۰,۱۴۸
	۴	۰,۷۸۹	۱,۰۰۶	۰,۴۵۱	۰,۰۳۸	۰,۰۹۵	۰,۰۴۵	۰,۱۵۷۴۷	۰,۳۳۱۹۴	۲,۵۰	۰,۱۵۳
	۵	۰,۷۱۹	۰,۹۰۷	۰,۴۵۱	۰,۰۳۵	۰,۰۸۶	۰,۰۴۵	۰,۱۵۷۴۷	۰,۲۹۳۲۷	۲,۴۶	۰,۱۲۵
	۶	۰,۶۶۰	۰,۸۵۷	۰,۴۵۱	۰,۰۳۲	۰,۰۷۹	۰,۰۴۵	۰,۱۵۷۴۷	۰,۲۶۱۶۳	۲,۴۷	۰,۰۹۵

جدول ۵. پارامترهای ارتعاشی قاب‌های بتن مسلح ۵ طبقه با دهانه‌های متفاوت و ارتفاع ثابت ۳ متر.

تعداد دهانه‌ی قاب	طول دهانه‌ی قاب (L) (m)	دوره‌ی تناوب الیه‌ی T. (Sec)	دوره‌ی تناوب نقطه‌ی عملکرد (T <sub>eq</sub> ) (Sec)	دوره‌ی تناوب پیشنهادی 2۸۰۰ (Sec)	تغییر مکان کشسانی سازه	تغییر مکان نقطه‌ی عملکرد سازه	تغییر مکان پیشنهادی 2۸۰۰ (m)	تغییر مکان هدف پیشنهادی FEMA-۳۵۶ (بادوره‌ی تناوب به دست آمده پیشنهادی) در ستون اول)	تغییر مکان هدف پیشنهادی FEMA-۳۵۶ (بادوره‌ی T. تناوب به دست آمده پیشنهادی)	ضریب شكل پذیری $\mu$	میرایی مؤثر در نقطه‌ی عملکرد (E <sub>eq</sub> )
دو دهانه	۳	°/۷۸۷	۱,۰۹۱	°/۰۵۴	°/۰۴۲	°/۰۹۹	°/۰۵۶۳	°/۰۲۰۴۶	°/۳۴۳۰۷۱	۲,۳۰	°/۱۴۷
	۴	°/۹۵۸	۱,۱۶۶	°/۰۵۴	°/۰۵۹	°/۱۱۷	°/۰۵۶۳	°/۰۲۰۴۶	°/۴۴۵۹	۱,۹۸	°/۱۱۴
	۵	°/۸۷۵	۱,۰۹۷	°/۰۵۴	°/۰۵۲	°/۱۰۷	°/۰۵۶۳	°/۰۲۰۴۶	°/۳۹۵۱۴۹	۲,۰۶	°/۱۲۳
	۶	°/۸۰۴	۰,۹۸۱	°/۰۵۴	°/۰۵۰	°/۰۹۸	°/۰۵۶۳	°/۰۲۰۴۶	°/۳۵۲۹۸۷	۱,۹۶	°/۱۱۶
سه دهانه	۳	°/۸۰۴	۱,۰۸۳	°/۰۵۴	°/۰۴۴	°/۱۰۰	°/۰۵۶۳	°/۰۲۰۴۶	°/۳۵۲۹۸۷	۲,۲۷	°/۱۴۱
	۴	°/۹۸۰	۱,۱۵۶	°/۰۵۴	°/۰۶۳	°/۱۲۰	°/۰۵۶۳	°/۰۲۰۴۶	°/۴۵۹۶۰۶	۱,۹۰	°/۱۰۴
	۵	°/۸۹۳	۱,۰۸۷	°/۰۵۴	°/۰۵۲	°/۱۰۸	°/۰۵۶۳	°/۰۲۰۴۶	°/۴۰۶۰۲۵	۲,۰۴	°/۱۱۵
	۶	°/۸۲۰	۱,۰۲۱	°/۰۵۴	°/۰۵۰	°/۰۹۹	°/۰۵۶۳	°/۰۲۰۴۶	°/۳۶۲۳۸۴	۱,۹۸	°/۱۲۲
چهار دهانه	۳	°/۸۱۳	۱,۰۸۰	°/۰۵۴	°/۰۴۴	°/۱۰۱	°/۰۵۶۳	°/۰۲۰۴۶	°/۳۵۸۲۶۵	۲,۳۰	°/۱۳۷
	۴	°/۹۹۱	۱,۱۸۹	°/۰۵۴	°/۰۶۴	°/۱۲۰	°/۰۵۶۳	°/۰۲۰۴۶	°/۴۶۶۴۹۷	۱,۸۸	°/۱۱۱
	۵	°/۹۰۳	۱,۰۹۱	°/۰۵۴	°/۰۵۲	°/۱۰۹	°/۰۵۶۳	°/۰۲۰۴۶	°/۴۱۲۰۹۸	۲,۰۶	°/۱۱۲
	۶	°/۸۲۸	۱,۰۱۳	°/۰۵۴	°/۰۵۱	°/۱۰۰	°/۰۵۶۳	°/۰۲۰۴۶	°/۳۶۷۱۰۶	۱,۹۶	°/۱۱۷
پنج دهانه	۳	°/۸۱۸	۱,۱۱۹	°/۰۵۴	°/۰۴۵	°/۱۰۲	°/۰۵۶۳	°/۰۲۰۴۶	°/۳۶۱۲۰۶	۲,۲۷	°/۱۴۲
	۴	°/۷۷۴	۱,۰۷۴	°/۰۵۴	°/۰۳۸	°/۰۹۷	°/۰۵۶۳	°/۰۲۰۴۶	°/۳۲۵۵۲۶	۲,۰۵	°/۱۴۶
	۵	°/۹۰۹	۱,۰۹۷	°/۰۵۴	°/۰۵۲	°/۱۱۰	°/۰۵۶۳	°/۰۲۰۴۶	°/۴۱۵۷۵۳	۲,۰۴	°/۱۱۲
	۶	°/۸۳۴	۱,۰۱۴	°/۰۵۴	°/۰۵۱	°/۱۰۰	°/۰۵۶۳	°/۰۲۰۴۶	°/۳۷۰۶۵۷	۱,۹۶	°/۱۱۶

جدول ۶. پارامترهای ارتعاشی قاب‌های بتن مسلح ۶ طبقه با دهانه‌های متفاوت و ارتفاع ثابت ۳ متر.

تعداد دهانه‌ی قاب	طول دهانه‌ی قاب (L) (m)	دوره‌ی تناوب الیه‌ی T. (Sec)	دوره‌ی تناوب نقطه‌ی عملکرد (T <sub>eq</sub> ) (Sec)	دوره‌ی تناوب پیشنهادی ۲۸۰۰ (Sec)	تغییر مکان کشسانی سازه	تغییر مکان نقطه‌ی عملکرد سازه	تغییر مکان پیشنهادی ۲۸۰۰ (m)	تغییر مکان هدف پیشنهادی FEMA-۳۵۶ (بادوره‌ی تناوب به دست آمده پیشنهادی) در ستون اول)	تغییر مکان هدف پیشنهادی FEMA-۳۵۶ (بادوره‌ی T. تناوب به دست آمده پیشنهادی)	ضریب شكل پذیری $\mu$	میرایی مؤثر در نقطه‌ی عملکرد (E <sub>eq</sub> )
دو دهانه	۳	°/۹۶۷	۱,۲۲۲	°/۶۱۲	°/۰۶۱	°/۱۱۹	°/۰۶۷۵	°/۰۲۴۵۳	°/۴۵۷۹۴۴	۱,۹۵	°/۱۲۹
	۴	°/۹۱۳	۱,۱۹۹	°/۶۱۲	°/۰۵۱	°/۱۱۳	°/۰۶۷۵	°/۰۲۴۵۳	°/۴۲۴۱۶۹	۲,۲۲	°/۱۳۴
	۵	۱,۰۷۳	۱,۲۲۷	°/۶۱۲	°/۰۷۰	°/۱۳۲	°/۰۶۷۵	°/۰۲۴۵۳	°/۵۲۶۰۷۰	۱,۸۹	۰,۰۹۲
	۶	°/۹۸۵	۱,۱۴۶	°/۶۱۲	°/۰۶۶	°/۱۲۰	°/۰۶۷۵	°/۰۲۴۵۳	°/۴۶۹۳۴۵	۱,۸۲	۰,۱۰۱
سه دهانه	۳	°/۹۸۵	۱,۲۲۹	°/۶۱۲	°/۰۶۲	°/۱۲۱	°/۰۶۷۵	°/۰۲۴۵۳	°/۴۶۹۳۴۵	۱,۹۵	۰,۱۲۳
	۴	°/۹۳۰	۱,۱۹۷	°/۶۱۲	°/۰۵۲	°/۱۱۴	°/۰۶۷۵	°/۰۲۴۵۳	°/۴۳۴۷۲۲	۲,۱۹	۰,۱۲۹
	۵	۱,۰۹۳	۱,۲۰۳	°/۶۱۲	°/۰۷۱	°/۱۳۴	°/۰۶۷۵	°/۰۲۴۵۳	°/۵۳۹۱۸۵	۱,۸۹	۰,۰۹۵
	۶	۱,۰۰۲	۱,۱۷۱	°/۶۱۲	°/۰۶۶	°/۱۲۱	°/۰۶۷۵	°/۰۲۴۵۳	°/۴۸۰۱۷۷	۱,۸۳	۰,۱۰۴
چهار دهانه	۳	°/۹۹۴	۱,۲۰۸	°/۶۱۲	°/۰۶۲	°/۱۲۲	°/۰۶۷۵	°/۰۲۴۵۳	°/۴۷۵۰۷۲	۱,۹۴	۰,۱۲۷
	۴	°/۹۳۸	۱,۲۰۷	°/۶۱۲	°/۰۵۲	°/۱۱۵	°/۰۶۷۵	°/۰۲۴۵۳	°/۴۳۹۷۲۵	۲,۱۷	۰,۱۲۸
	۵	۱,۱۰۴	۱,۲۰۶	°/۶۱۲	°/۰۷۱	°/۱۳۴	°/۰۶۷۵	°/۰۲۴۵۳	°/۵۴۶۴۲۲	۱,۸۹	۰,۱۰۲
	۶	۱,۰۱۱	۱,۱۷۹	°/۶۱۲	°/۰۶۷	°/۱۲۲	°/۰۶۷۵	°/۰۲۴۵۳	°/۴۸۵۹۳۶	۱,۸۲	۰,۱۰۲
پنج دهانه	۳	۱,۰۰۰	۱,۲۲۴	°/۶۱۲	°/۰۶۴	°/۱۲۲	°/۰۶۷۵	°/۰۲۴۵۳	°/۴۷۸۸۹۹	۱,۹۱	۰,۱۱۶
	۴	°/۹۹۴	۱,۲۱۴	°/۶۱۲	°/۰۵۲	°/۱۱۶	°/۰۶۷۵	°/۰۲۴۵۳	°/۴۷۵۰۷۲	۲,۱۹	۰,۱۲۸
	۵	۰,۸۸۸	۱,۱۲۸	°/۶۱۲	°/۰۴۵	°/۱۰۹	°/۰۶۷۵	°/۰۲۴۵۳	°/۴۰۸۷۵۳	۲,۴۲	۰,۱۲۴
	۶	۱,۰۱۷	۱,۱۷۱	°/۶۱۲	°/۰۶۷	°/۱۲۳	°/۰۶۷۵	°/۰۲۴۵۳	°/۴۸۹۷۸۵	۱,۸۴	۰,۰۹۸

آمده از معادله‌ی ۳۱، مقادیری بین نتایج اوتانی<sup>[۱۲]</sup> و گلکان و سوزن<sup>[۱۵]</sup> با فرض میرایی اولیه‌ی ۵٪ را نشان می‌دهد (شکل ۱۳).

## نتجه گیری

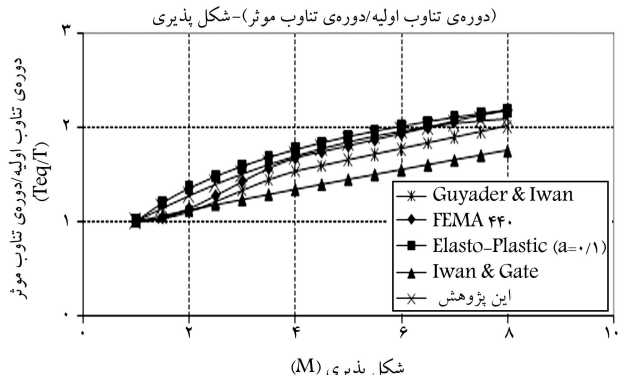
- در قاب‌های یک دهانه با تعداد دهانه‌های بیشتر، به علت اینکه مقدار کمینه‌ی ابعاد پیشنهادی توسط آین نامه‌های طراحی بن برای ابعاد ستون انتخاب شده است، مقدار ضریب نرمی (شکل پذیری) سازه بیشتر از دیگر قاب‌ها است. همچنین ضریب نرمی (شکل پذیری) در قاب‌هایی که طول دهانه‌ی کوچک‌تری دارند، بیشتر از قاب‌هایی است که طول دهانه‌ی بزرگ‌تری دارند.
- با افزایش طول دهانه و افزایش نیروی محوری ناشی از بار ثقلی، به علت حاکم شدن حرکت برشی، مقدار ضریب نرمی (شکل پذیری) قاب کاهش پیدا کرده است. گرچه این مورد یک اصل نیست و در بعضی از قاب‌ها خلاف مورد ذکر شده وجود دارد، همین مورد در رابطه با میرایی نیز مشاهده شده است.
- تغییرات در ارتفاع سازه و افزایش طول دهانه باعث افزایش زمان تناوب اصلی سازه شده است. گرچه تأثیر افزایش طول دهانه به اندازه‌ی افزایش ارتفاع سازه نقشی در تغییرات دوره‌ی تناوب سازه ندارد.
- با بررسی جدول‌های ۱ تا ۶ مشخص شد که بیشینه‌ی تغییر مکان پیشنهادی استاندارد ۲۸۰۰<sup>[۱۳]</sup> در حدود تغییر مکان کشسانی سازه است و تقریباً با تغییر مکان رخداد اولین مفصل خمیری در سازه همخوانی دارد. شایان ذکر است که تغییر مکان پیشنهادی در استاندارد ۲۸۰۰<sup>[۱۴]</sup> کمتر از تغییر مکان هدف پیشنهادی در دستوالعمل بهسازی و FEMA-۳۵۶<sup>[۱۷]</sup> است.
- قاب‌های ۳ و کمتر از ۳ طبقه (قاب‌های کوتاه مرتبه) دارای تغییر مکان کوچک‌تر از تغییر مکان نقطه‌ی عملکرد و قاب‌های بیشتر از ۳ طبقه دارای تغییر مکان بیشتر از تغییر مکان هدف پیشنهادی در دستوالعمل بهسازی و FEMA-۳۵۶<sup>[۱۷]</sup> است.
- منحنی پیشنهادی برای نسبت میرایی مؤثر در این نوشتار مقادیری بین مقادیر پیشنهادی اوتانی<sup>[۱۲]</sup> و گلکان و سوزن<sup>[۱۵]</sup> با فرض میرایی کشسانی ۵٪ است.
- منحنی پیشنهادی برای نسبت دوره‌ی تناوب مؤثر به دوره‌ی تناوب اولیه نزدیک به منحنی ارائه شده‌ی FEMA ۴۴۰<sup>[۱۵]</sup> است ولی پیچیدگی ارائه شده‌ی فرمول FEMA ۴۴۰<sup>[۱۵]</sup> را ندارد.

## پانوشت

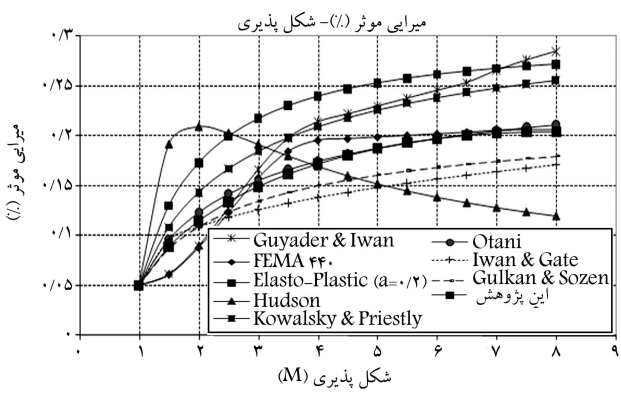
- direct displacement based design (DDBD)
- pinching
- capacity spectrum method

## منابع

- International Conference of Building Officials*, "Uniform building code- UBC 97", California (1997).



شکل ۱۲. مقایسه تغییرات نسبت دوره‌ی تناوب مؤثر به دوره‌ی تناوب اصلی با توجه به مقدار شکل پذیری.



شکل ۱۳. مقایسه تغییرات نسبت میرایی مؤثر با توجه به مقدار شکل پذیری.

در آین نامه انتخاب شده است، شکل پذیری، میلی بی و زمان تناوب مؤثر این قاب محدوده‌ی وسیع‌تری نسبت به دیگر قاب‌ها دارد. معادله‌های به دست آمده از این تحقیق با دیگر کارهای انجام شده است. با فرض اینکه سختی بعد از مرحله‌ی کشسانی دارای نسبتی بین صفر و ۱۰٪ است و تغییر زیادی در پاسخ سازه ایجاد نمی‌کند<sup>[۲۶,۲۷]</sup> پاسخ‌ها با مقادیر  $\alpha = ۰, ۱۰$  مقایسه شده‌اند. این مقایسه در شکل‌های ۱۲ و ۱۳ ارائه شده است. نسبت زمان تناوب مؤثر به زمان تناوب اصلی به دست آمده از این تحقیق (معادله‌ی ۳۰) با مقادیر ارائه شده در FEMA ۴۴۰<sup>[۱۵]</sup> (معادله‌های ۱۲ تا ۱۵) همخوانی دارد (شکل ۱۲). همچنین میرایی مؤثر به دست

- Building and Housing Research Center*, "Iranian code of practice for seismic resistant design of buildings", (Standard No. 2800), 3<sup>rd</sup> Edition (2004).
- Committee European Normalization (CEN)*, "European prestandard ENV 1998-1-1: Eurocode 8-earthquake resistant design of structures, Part 1: General rules for buildings", Brussels (1995).
- Building Seismic Safety Council (BSSC)*, "NEHRP guidelines for the seismic rehabilitation of buildings", FEMA 273, Federal Emergency Management Agency, Washington D.C. (1997).

5. ASCE, "Prestandard and commentary for the seismic rehabilitation of buildings", *FEMA 356, Federal Emergency Management Agency Washington D.C.* (2000).
6. Xia, Y.; Hao, H.; Brownjohn, J.M.W., and Xia, P.O., "Damage identification of structures with uncertain frequency and mode shape data", *Earthquake Engineering and Structural Dynamics*, **31**, (2002).
7. Hearn, G., and Testa, R.G., "Modal analysis for damage detection in structures", *J. Structural Engineering*, ASCE, **117**, pp. 3042-3063 (1991).
8. Hudson, D.E., "Equivalent viscous friction for hysteretic system with earthquake-like excitations", *3 WCEE*, New Zealand (1965).
9. Iwan, W.D., and Gates, N.C, "The effective period and damping of a class of hysteretic structures", *Earthquake Engineering and Structural Dynamics*, **7**, (3), pp.199-211 (1979).
10. Gulkan, P., and Sozen, M.A., "Inelastic responses of reinforce concrete structures to earthquake motions", *J. Am. Con. Inst.*, **71**, (12), pp.604-611 (1974).
11. Kowlasky, M.J.; Preistley, M.J.N., and MacRae, A., "Methodology for seismic design applied to single degree of freedom reinforced concrete structures", *SSRP-94/16 Structural Systems Research Projects, California* (1994).
12. Otani, S., "New seismic design provision in Japan", *U.S.-Japan Cooperative Program on Urban Earthquake Disaster Mitigation* (2002).
13. Kwan, W., and Billington, S. L., "Influence of hysteretic behavior on equivalent period and damping of structural systems", *129*, (5), pp.576-585 (2003).
14. Guyader, A.C., and Iwan, W.D., "An improved capacity spectrum method employing statically optimized linearization parameters", *13 WCEE*, Van Couver, Canada (2004).
15. Iwan, W.D., and et al., "A summary of FEMA 440: Improvement of nonlinear static seismic analysis procedures", *13 WCEE*, Van Couver, Canada (2004).
16. ACI-Committee 318, "Building code requirement for structural concrete (ACI 318)", Michigan, USA (2002).
17. Iranian Management and Planning Organization Office of Deputy for Technical Affairs Technical Criteria Codification & Earthquake Risk Reduction Affairs Bureau, "Instruction for seismic rehabilitation of existing buildings" (2001).
18. ATC-40. *Seismic Evaluation and Retrofit of Concrete Buildings*, **1**, Applied Technology Council, Redwood City, California (1996).
19. Computers and structures Inc., "SAP2000 – Version 8: Integrated Software for structural analysis and design", Berkeley, California (2002).
20. Valles, R.E.; Reinhorn, A.M.; Kunnath, S.K.; Li, C., and Madan, A., "IDARC-2D: A computer program for the inelastic analysis of buildings" *State University of New York at Buffalo*, Buffalo, NY, (2005).
21. Nassar, A.A., and Krawinkler, H., "Seismic demands for SDOF and MDOF systems", *Rept. No. 95, John A. Blume Earthquake Engrg. Cen.*, Stanford Univ., Stanford, Calif (1991).
22. Rahnama, M., and Karwinkler, H., "Effects of soft soil and hysteresis model on seismic demands", *Report No. 108, the John A. Blume Earthquake Engineering Center*, Stanford University, Stanford, CA (1993).